

Дополнительные материалы к статье

О. В. Петров, Д. В. Рябчук, А. Ю. Сергеев, Л. М. Буданов, В. А. Жамойда, И. А. Неевин,
Е. Е. Талденкова, Д. В. Прищепенко, Е. С. Носевич, З. В. Пушина, А. Г. Григорьев, Л. Д.
Баширова, Е. П. Пономаренко

НОВЫЕ ДАННЫЕ О ГЕОЛОГИЧЕСКОМ СТРОЕНИИ И ПАЛЕОГЕОГРАФИЧЕСКОМ РАЗВИТИИ ВОСТОЧНО-СИБИРСКОГО МОРЯ В КВАРТЕРЕ

Листостратиграфические колонки, гистограммы гранулометрического состава, результаты
последних геохимических исследований

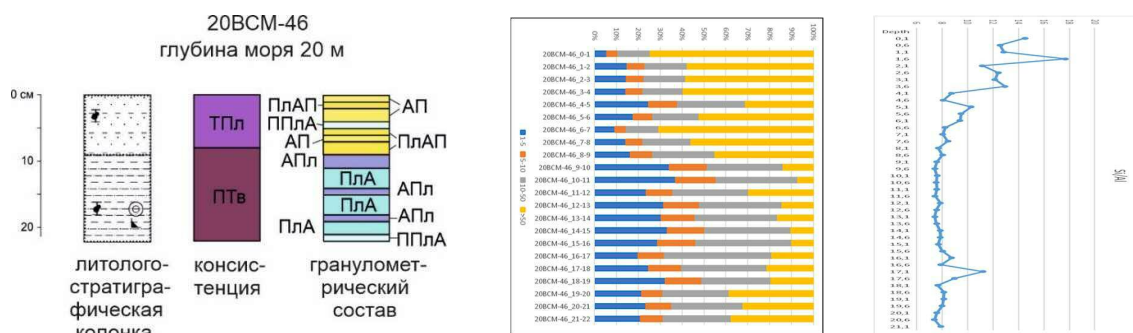


Рис. Д1. Литостратиграфическая колонка, гистограмма гранулометрического состава и график соотношения Si/Al грунтовой колонки 20VSM-46 (ССТ-4). Условные обозначения на рис. Д2.

20ВСМ-79
глубина моря 29 м

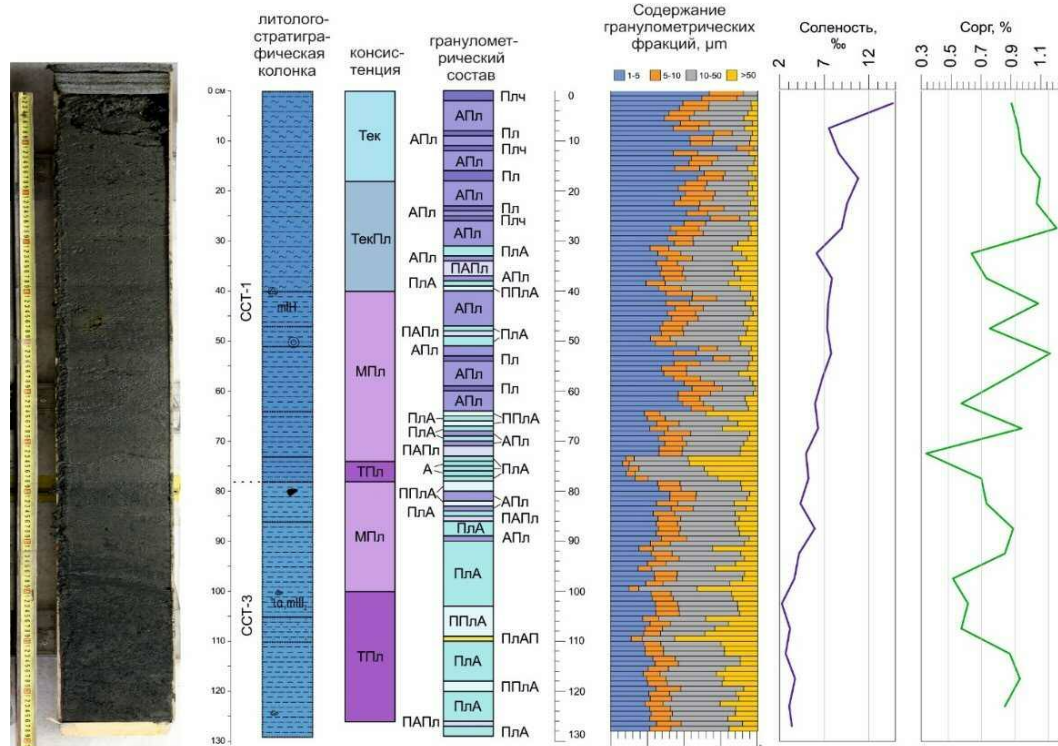


Рис. Д4. Колонка 20ВСМ-79 (ССТ-3). Условные обозначения на рис. Д2.

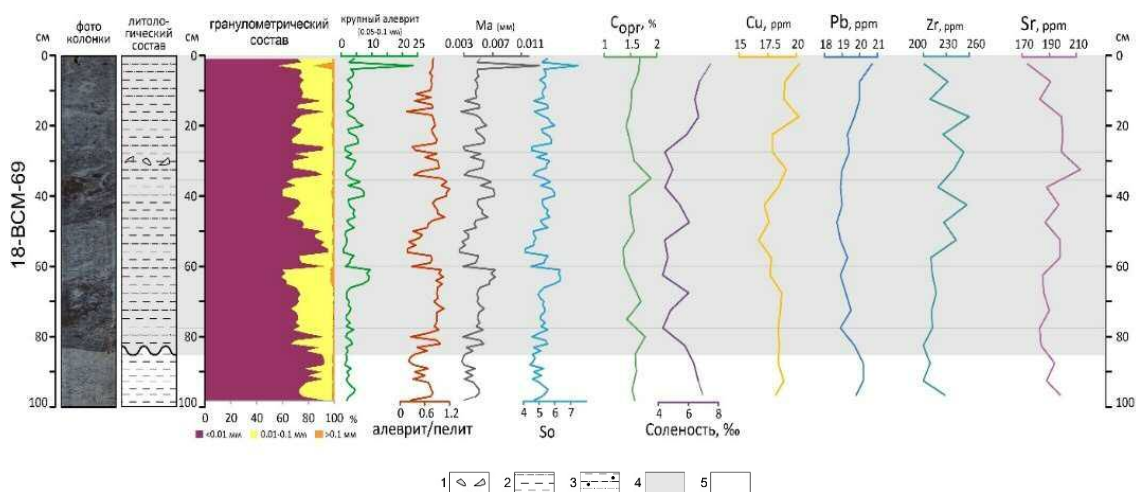


Рис. Д5. Результаты послойных аналитических исследований грунтовой колонки 18ВСМ-69 (ССТ-2). 1 - обломки раковин моллюсков; 2 - пелитовые алевроиты; 3 - песчано-пелитовые алевроиты с единичным гравием; 4 - неслоистые; 5 - слоистые

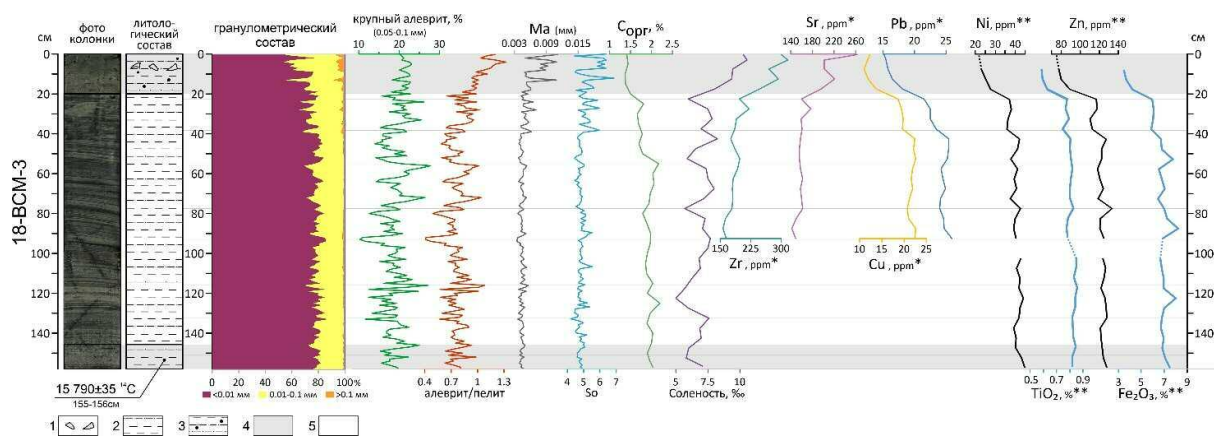


Рис. Д6. Результаты послойных аналитических исследований грунтовой колонки 18-BCM-3 (CST-1): 1 - обломки раковин моллюсков; 2 - пелитовые алевроиты; 3 - песчано-пелитовые алевроиты с единичным гравием; 4 - неслоистые; 5 - слоистые; * – «ICP-MS»; ** – «Спектроскан».

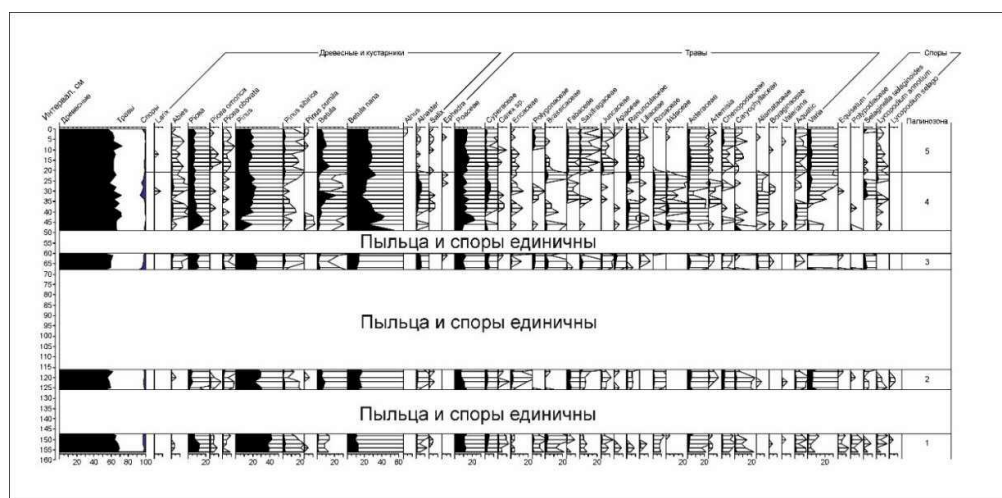


Рис. Д7. Спорово-пыльцевая диаграмма грунтовой колонки 18-BCM-3 (аналитик Носевич Е.С.).

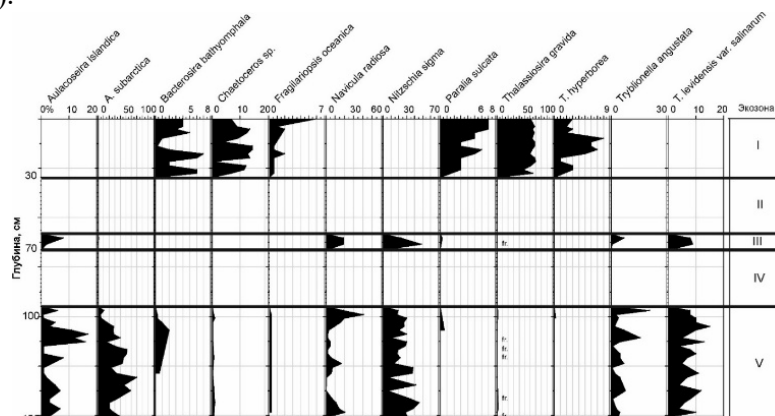


Рис. Д8. Доминирующие виды диатомей в осадках колонки 18-BCM-3. Определение З.В.Пушиной.

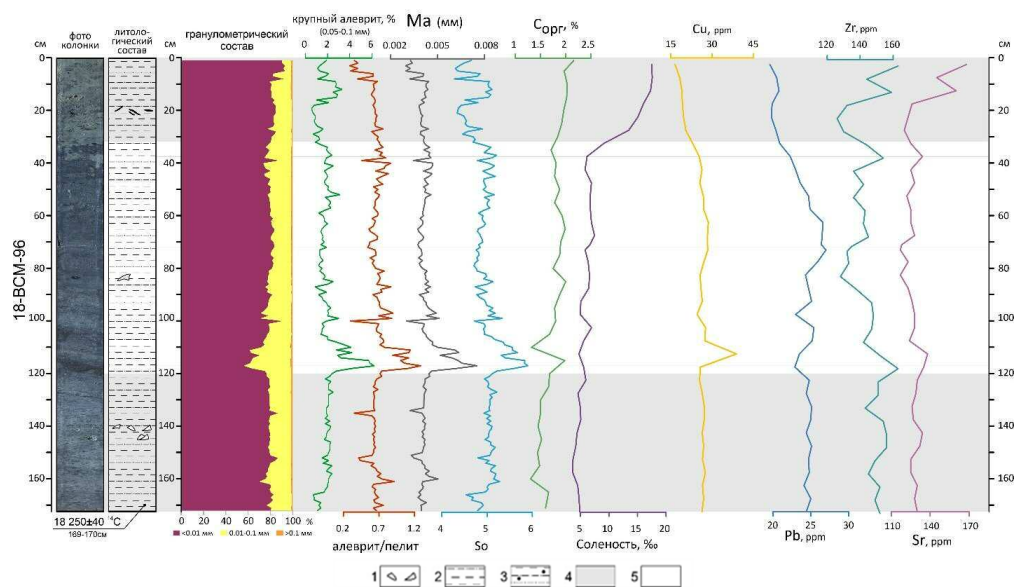


Рис. Д9. Результаты послойных аналитических исследований грунтовой колонки 18-BSM-96 (CST-1): 1 - обломки раковин моллюсков; 2 - пелитовые алевроиты; 3 - песчано-пелитовые алевроиты с единичным гравием; 4 - неслоистые; 5 - слоистые; * - «ICP-MS».

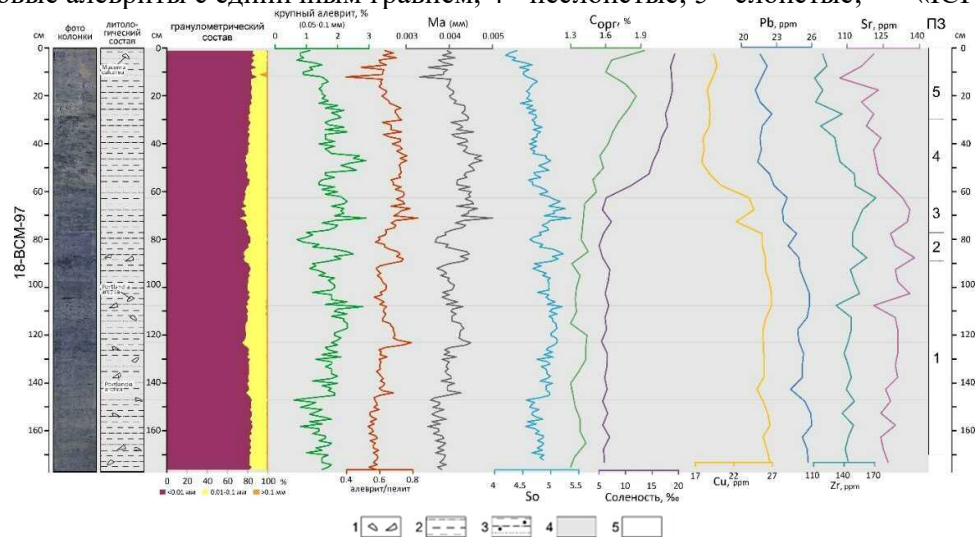


Рис. Д10. Результаты послойных аналитических исследований грунтовой колонки 18-BSM-97 (CST-1): 1 - обломки раковин моллюсков; 2 - пелитовые алевроиты; 3 - песчано-пелитовые алевроиты с единичным гравием; 4 - неслоистые; 5 - слоистые; * - «ICP-MS».

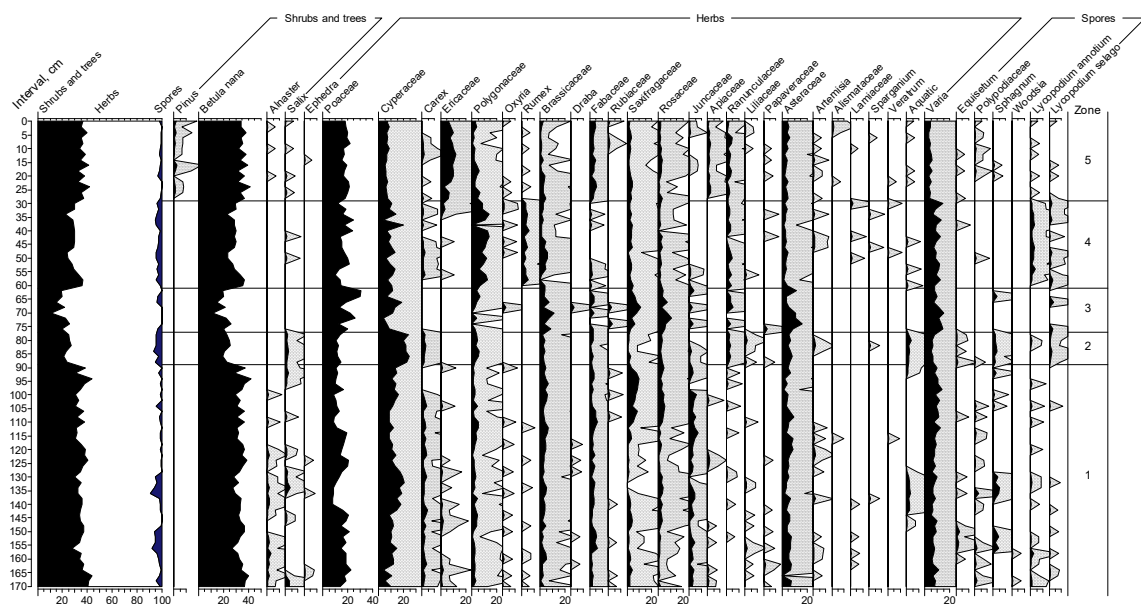


Рис. Д11. Пыльцевая диаграмма грунтовой колонки 18-ВСМ-97. Палинолог Е.С Носевич.

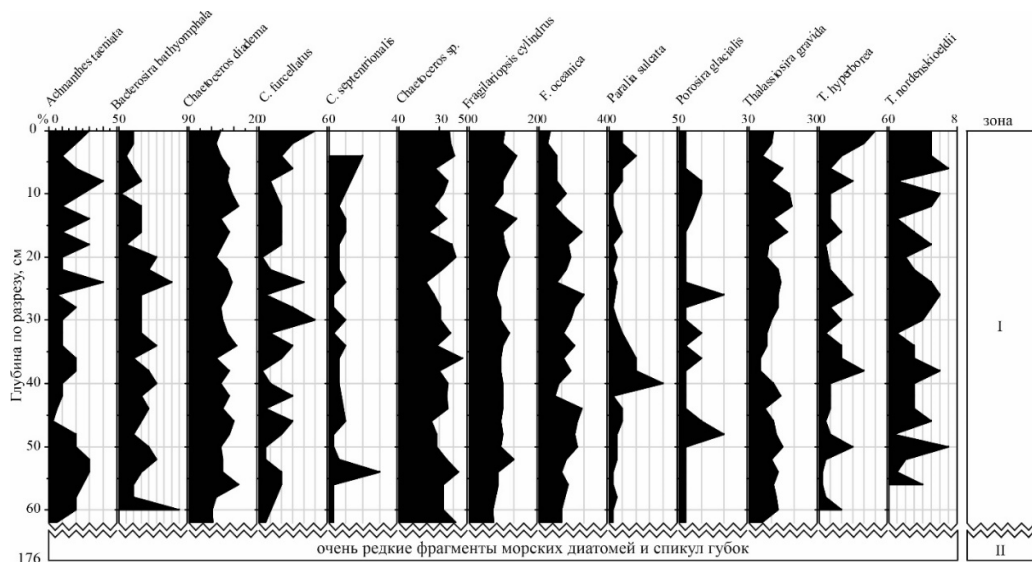


Рис. Д12. Группы и виды диатомей в осадках колонки 18BSM-97. Определения З.В.Пушиной.

[illegible]

Рис. Д14. Колонка 20ВСМ-13 (ССТ-1). Условные обозначения на рис. Д2.

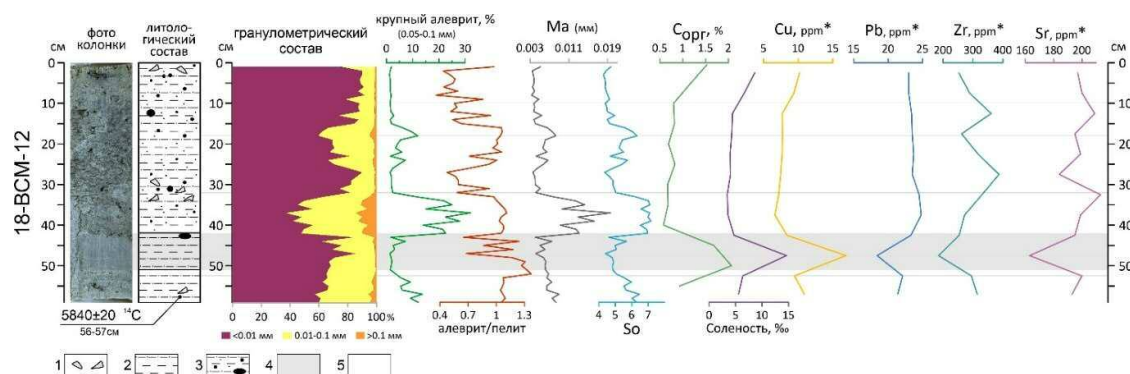


Рис. Д15. Результаты послойных аналитических исследований грунтовой колонки 18-BCM-12 (ССТ-1): 1 - обломки раковин моллюсков; 2 - пелитовые алевриты; 3 - миктит (алевроглины с песчаными зернами и единичным гравием и галькой); 4 - тугопластичные 5 - неоднородные (перемешанный); * – «ICP-MS».

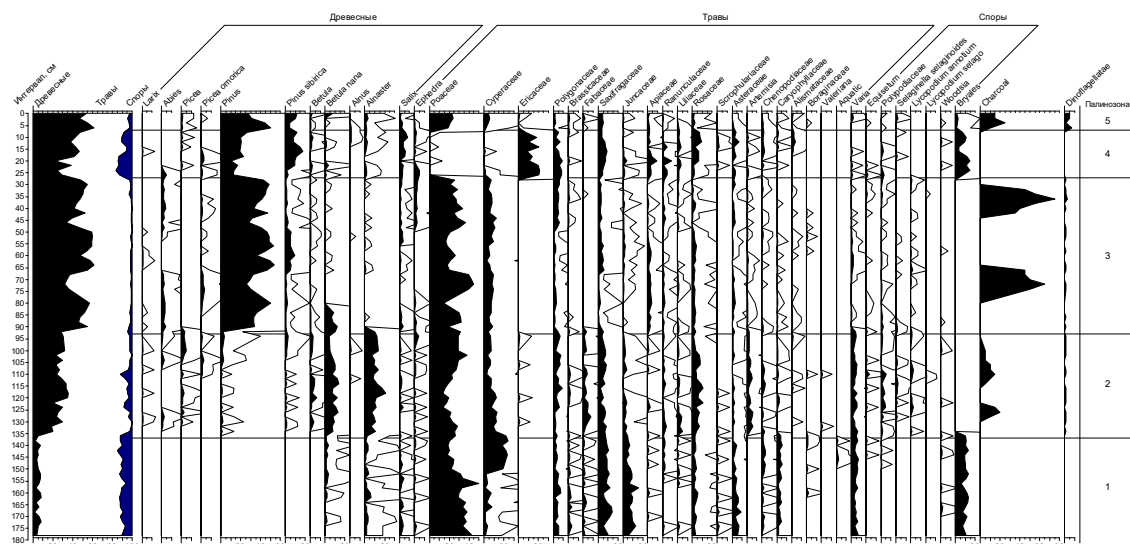


Рис. Д16. Споро-пыльцевая диаграмма грунтовой колонки 20BCM-8 (палинолог Е.Носевич).

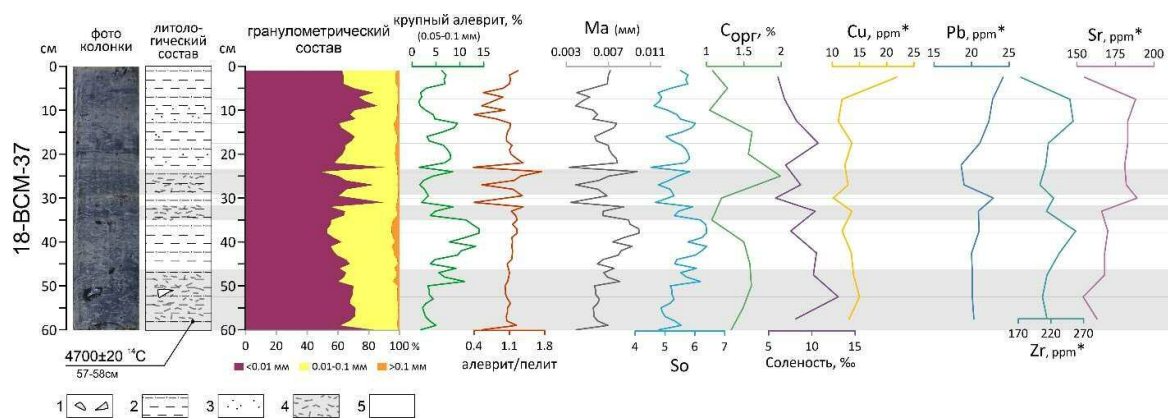


Рис. Д19. Результаты послойных аналитических исследований грунтовой колонки 18BCM-37 (ССТ-1): 1 - обломки раковин моллюсков; 2 - пелитовые алевроиты; 3 - примесь тонкопесчаного материала; 4 - биогенные текстуры (ходы илоедов); 5 - неслоистые крапчатые; * – «ICP-MS».

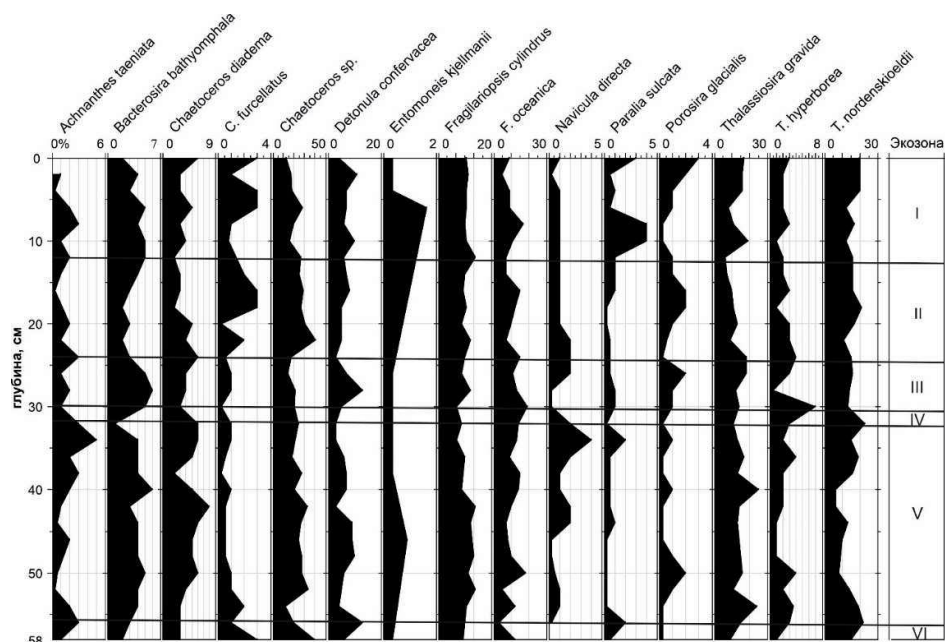


Рис. Д20. Доминирующие виды диатомей в осадках колонки 18BCM-37. Определение З.В.Пушиной.

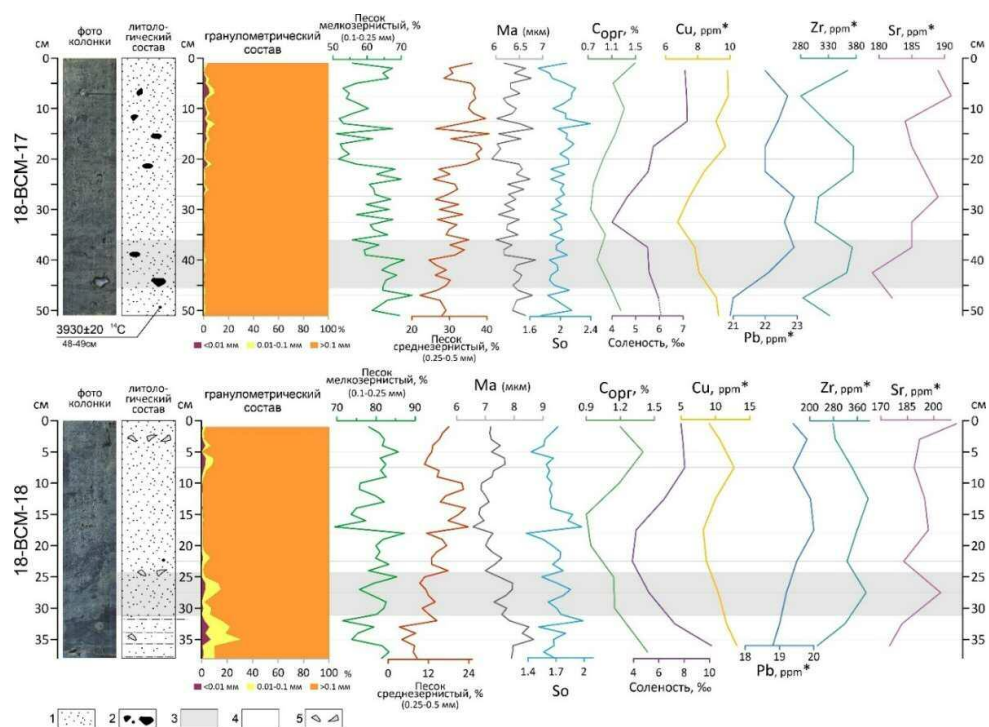


Рис. Д21. Результаты послойных аналитических исследований грунтовых колонок 18BSM-17 и 18BSM-18 (ССТ-1): 1 - песок мелкозернистый; 2 - включения гальки и гравия; 3 - биотурбированный (слабо выделяются, изогнутые слойки); 4 – осадок механически перемешан; 5 - обломки раковин моллюсков; * – «ICP-MS».